

# UTJECAJ PRISILNIH POMAKA I TEMPERATURE U METODI SILA

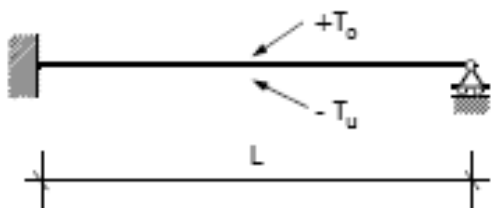
- Kod statički neodređenih sistema – odgovor su reakcije i unutarnje sile od opterećenja; zbog prisilnih pomaka te pri promjenama temperature.
- Utjecaj **temperaturnih promjena** na savijanje i na produljenje/skraćenje dijelova sistema- **dodatnim pribrojnicima u izrazu za slobodne članove  $\delta_{i,0}$**

$$EI_C \delta_{ik} = \int \frac{I_C}{I} M_i M_k ds + \int \frac{I_C}{A} N_i N_k ds + \int \frac{EI_C}{GA_Q} Q_i Q_k ds$$

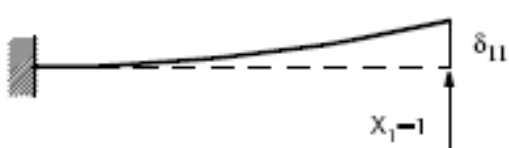
$$EI_C \delta_{i0} = \int \frac{I_C}{I} M_i M_0 ds + \int \frac{I_C}{A} N_i N_0 ds + \int \frac{EI_C}{GA_Q} Q_i Q_k ds$$
$$+ EI_C \alpha_t \underbrace{\int \left( N_i t_0 + M_i \frac{\Delta t}{h} \right) ds}_{\text{Temperatura}} + \underbrace{EI_C \delta}_{\substack{\text{Auflagerverschiebung} \\ \text{Pris.pomak ležaja}}}$$

# UTJECAJ PRISILNIH POMAKA I TEMPERATURE U METODI SILA

- PRIMJER: Na statički n.sust. djeluje temp. razlika gornjeg i donjeg pojasa, odrediti utjecaj iste na nosač. Utjecaj su sile i pomaci.



• Progib o.s. uslijed temperature



• Progib o.s. uslijed  $X_1$

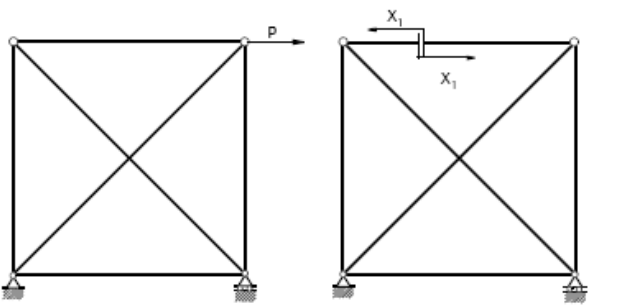
$$\delta_{10} = \alpha_t \int_0^L M_1 \frac{\Delta T}{h} ds \quad \Delta T = (T_u - T_o)$$

$$EI_C \delta_{11} = \int_0^L M_1^2 ds$$

$$X_1 = -\frac{\delta_{10}}{\delta_{11}}$$

# UTJECAJ PRISILNIH POMAKA I TEMPERATURE U METODI SILA

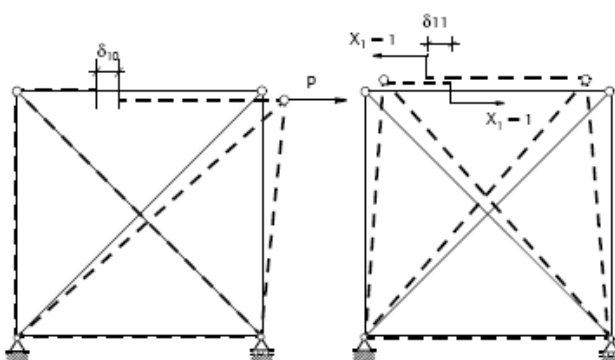
- Kod rešetke utjecaj temperature je na izduženje ili skraćenje štapova.



## St.n.r. st.odr.sistem

$$EA_C \delta_{10} = \sum_{m=1}^M \left[ \left( N_0 N_1 \frac{A_C}{A} s \right)_m + \underbrace{EA_C \alpha_t \sum_{m=1}^M (N_1 t_0 s)_m}_{\text{Temperaturauteil}} \right]$$

$$E A_C \delta_{11} = \sum_{m=1}^M \left( N_1^2 \frac{A_C}{A} s \right)_m$$



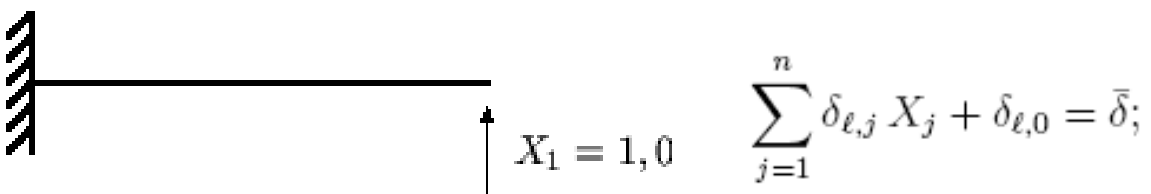
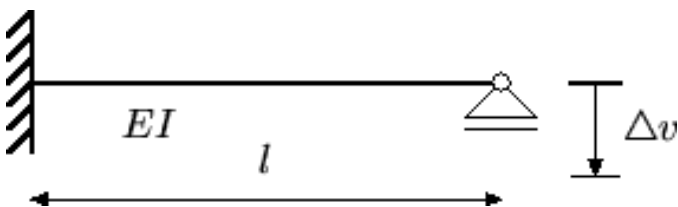
Def.uslijed vanj. djelovanja / Def. uslijed  $X_1=1$

# UTJECAJ PRISILNIH POMAKA I TEMPERATURE U METODI SILA

**Prisilni pomaci-translacijski pomaci** ležaja po prvcima po kojima ti ležaji sprečavaju pomake i **zaokret, pomaci uslijed netočne izvedbe.**

Oblik jednadžbi kompatibilnosti ovisi o izboru osnovnoga sistema i razlikujemo dva slučaja.

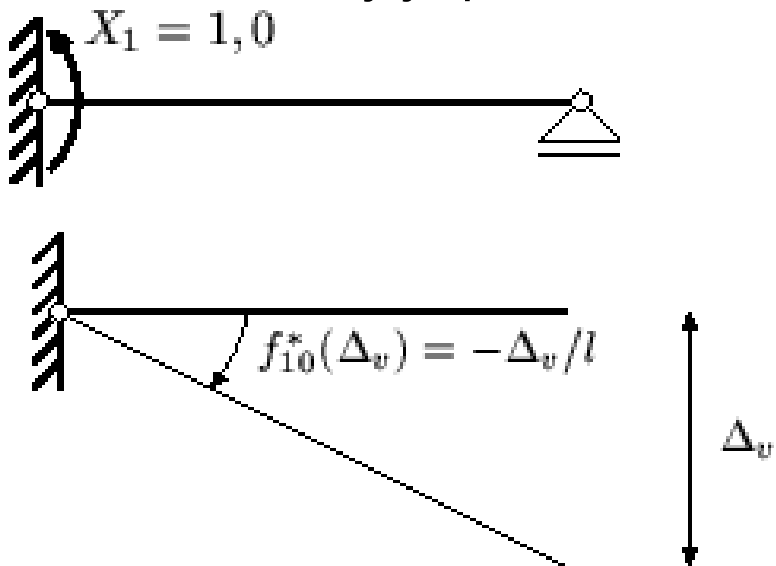
(1) Pomaci od sila i vanjskog opterećenja u prekobrojnim vezama jednaki su prisilnim pomacima konstrukcije-ako o.s. odabran da su skinute veze na prvcima prisilnih pomaka.  
Jednadžbe diskontinuiteta umjesto kontinuiteta.



$$\sum_{j=1}^n \delta_{\ell,j} X_j + \delta_{\ell,0} = \bar{\delta};$$

# UTJECAJ PRISILNIH POMAKA I TEMPERATURE U METODI SILA

- (2) Osnovni je sistem takav da ni jedna zamjenjujuća sile ne djeluje na pravcu zadanog pomaka u točki čiji je pomak zadan.

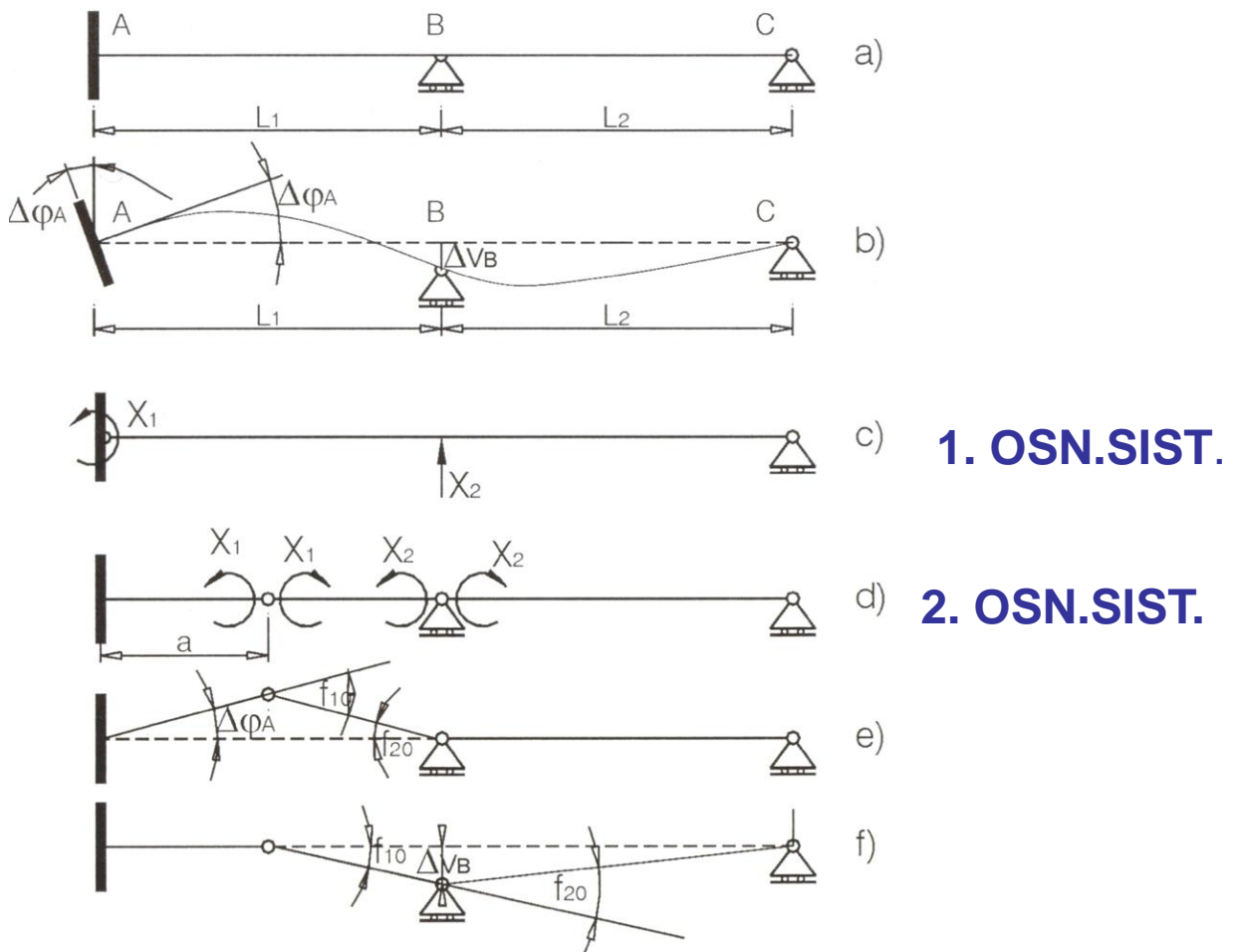


$$f_{11}^* \cdot X_1 + f_{10}^*(\Delta_v) = 0.$$

Svi pomaci po pravcima raskinutih veza moraju isčeznuti. Utjecaji prisilnoga pomaka -u δi,0 raskidanjem odgovarajuće veze osnovni sistem pretvaramo u mehanizam, crtamo plan pomaka za zadani pomak i iz njega očitavamo pomake hvatišta sila  $X_i$  koje pribrajamo vrijednostima δi,0.

# UTJECAJ PRISILNIH POMAKA I TEMPERATURE U METODI SILA

Primjer: kontinuirani nosač kod kojeg je ležaj A izveden zaokrenut za kut  $\Delta\varphi_A$  a ležaj B pomaknut za  $\Delta v_B$ .



1. OSN.SIST.

$$X_1 \cdot \delta_{11} + X_2 \cdot \delta_{12} + \delta_{10} = \Delta\varphi_A$$

$$X_1 \cdot \delta_{12} + X_2 \cdot \delta_{22} + \delta_{20} = -v_B$$

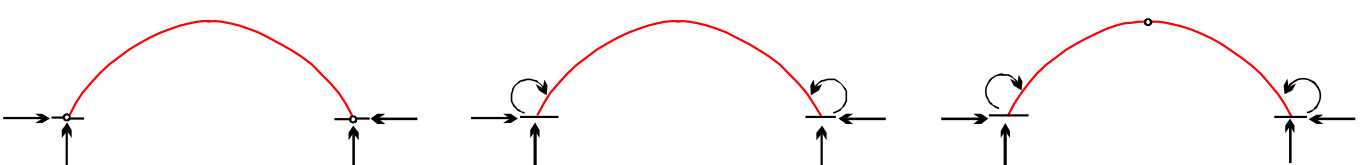
2. OSN.SIST.

$$X_1 \cdot \delta_{11} + X_2 \cdot \delta_{12} + \delta_{10} = 0 \Rightarrow \delta_{10}(\Delta\varphi_A); \quad \delta_{10}(v_B)$$

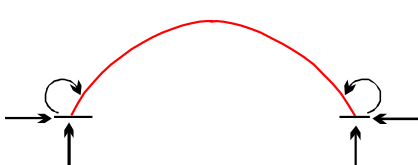
$$X_1 \cdot \delta_{12} + X_2 \cdot \delta_{22} + \delta_{20} = 0 \Rightarrow \delta_{20}(\Delta\varphi_A); \quad \delta_{20}(v_B)$$

# SREDIŠTE ELASTIČNOG POMAKA

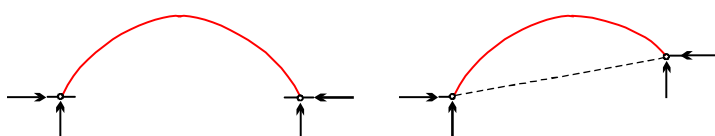
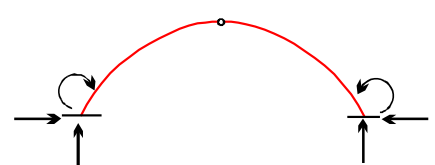
DVOZGLOBNI LUK



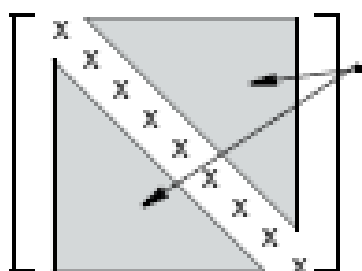
UPETI LUK



JEDNOZGLOBNI LUK



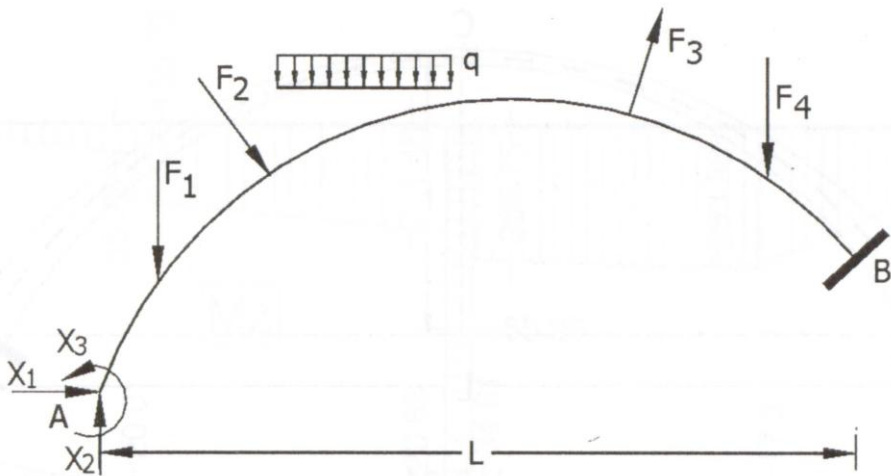
Ukoliko luk ima 1 os simetrije i jednaku krutost po duljini mogu se uvesti neka olakšanja u proračunu.



Teži se da je što više  $\delta_i, j=0$ .

# SREDIŠTE ELASTIČNOG POMAKA

Odabrani osnovni sustav:



Jednadžbe kontinuiteta:

$$X_1 f_{11} + X_2 f_{12} + X_3 f_{13} + f_{10} = 0$$

$$X_1 f_{21} + X_2 f_{22} + X_3 f_{23} + f_{20} = 0$$

$$X_1 f_{31} + X_2 f_{32} + X_3 f_{33} + f_{30} = 0$$

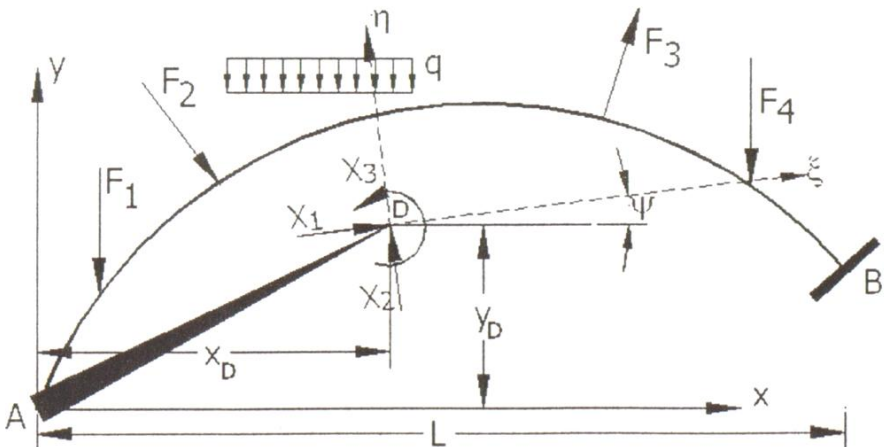
$$\rightarrow F \cdot X + F_0 = 0$$

Izračun elemenata matrice fleksibilnosti, koja je simetrična oko glavne dijagonale, relativno je jednostavan ako je luk konstantnog poprečnog presjeka a os zadana analitičkim izrazom podgodnim za direktnu integraciju.

Kada je oblik dobiven kao tlačna linija ili je promjenjivog poprečnog presjeka, koeficijenti matrice fleksibilnosti se računaju numeričkom integracijom.

# SREDIŠTE ELASTIČNOG POMAKA

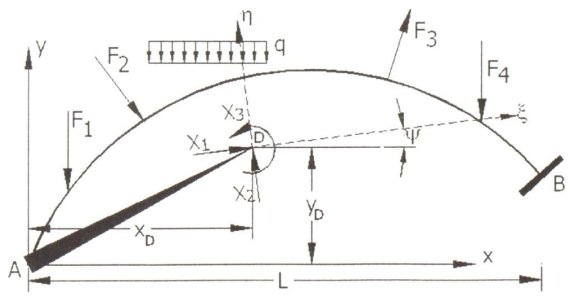
Tražimo točku u ravnini luka u kojoj elementi matrice fleksibilnosti van glavne dijagonale iščezavaju čime se dobiju tri neovisne jednadžbe s po jednom nepoznanim (ortogonalizacija matrice).



$$F = \begin{bmatrix} f_{11} & 0 & 0 \\ 0 & f_{22} & 0 \\ 0 & 0 & f_{33} \end{bmatrix} \quad \text{odnosno} \quad \begin{Bmatrix} X_1 \\ X_2 \\ X_3 \end{Bmatrix} = - \begin{bmatrix} \frac{1}{f_{11}} & 0 & 0 \\ 0 & \frac{1}{f_{22}} & 0 \\ 0 & 0 & \frac{1}{f_{33}} \end{bmatrix} \begin{Bmatrix} f_{10} \\ f_{20} \\ f_{30} \end{Bmatrix}$$

Točka (D) u kojoj nepoznate sile imaju prepostavljeno svojstvo zove se SREDIŠTE ELASTIČNOG POMAKA ili ELASTIČNO TEŽIŠTE.

# SREDIŠTE EL. POMAKA



Veličine  $x_D$ ,  $y_D$  i kut  $\psi$  određuju se iz uvjeta da su izvan dijagonalni elementi matrice popustljivosti jednaki 0.

- Element "teške linije"  $dg = ds/EI(s)$
- Duljina teške linije  $\int_A^B \frac{ds}{EI(s)} = \int_A^B dg = G$
- Statički moment oko osi y  $\int_A^B \frac{x \cdot ds}{EI(s)} = \int_A^B x \cdot dg = S_G(y)$
- Statički moment oko osi x  $\int_A^B \frac{y \cdot ds}{EI(s)} = \int_A^B y \cdot dg = S_G(x)$

Ako su  $I_G(x')$  moment inercije oko osi  $x' = x - x_D$ ,  $I_G(y')$  moment inercije oko osi  $y' = y - y_D$  i  $I_G(x', y')$  centrifugalni moment inercije "teške linije" luka oko točke D, tada vrijedi:

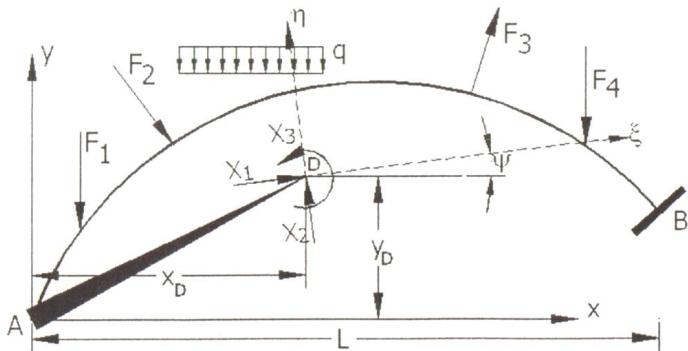
$$\int_A^B \frac{(x - x_D)^2}{EI(s)} ds = \int_A^B (x - x_D)^2 dg = I_G(y')$$

$$\int_A^B \frac{(y - y_D)^2}{EI(s)} ds = \int_A^B (y - y_D)^2 dg = I_G(x')$$

$$\int_A^B \frac{(x - x_D)(y - y_D)}{EI(s)} ds = \int_A^B (x - x_D)(y - y_D) dg = I_G(y', x')$$

Napomena: zanemaren doprinos uzdužnih i poprečnih sila elementima matrice popustljivosti.

# SREDIŠTE EL. POMAKA



Koordinate točke D i kut  $\psi$  mogu se izraziti pomoću karakteristika "teške linije":

$$x_D = \frac{S_G(y)}{G}, \quad y_D = \frac{S_G(x)}{G}, \quad \psi = \frac{1}{2} \operatorname{arctg} \left( \frac{2 \cdot I_G(x', y')}{I_G(y') - I_G(x')} \right)$$

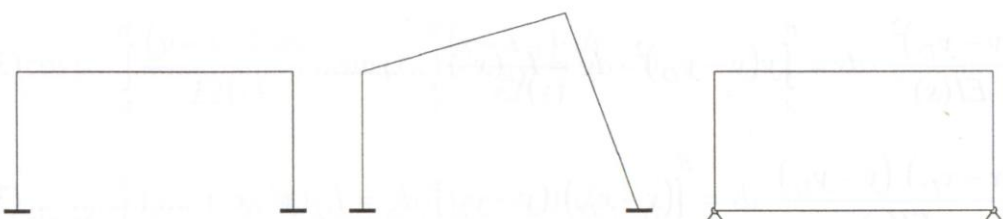
dok su dijagonalni elementi matrice popustljivosti:

$$f_{11} = \int_A^B \frac{m_1^2}{EI} ds = I_G(x') \cos^2 \psi - I_G(x', y') \sin 2\psi + I_G(y') \sin^2 \psi$$

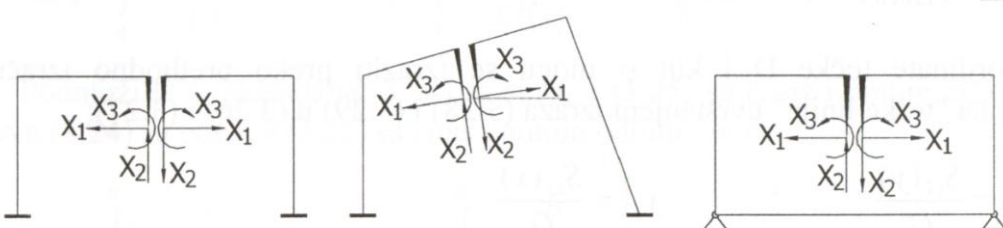
$$f_{22} = \int_A^B \frac{m_2^2}{EI} ds = I_G(x') \sin^2 \psi + I_G(x', y') \sin 2\psi + I_G(y') \cos^2 \psi$$

$$f_{33} = \int_A^B \frac{m_3^2}{EI} ds = G$$

Simetrični lukovi:  $x_D=L/2$ ,  $\psi=0 \Rightarrow$  ostaje samo  $y_D$ .



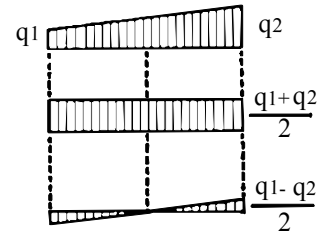
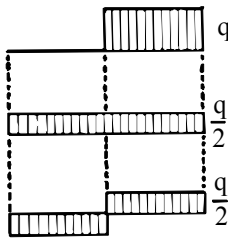
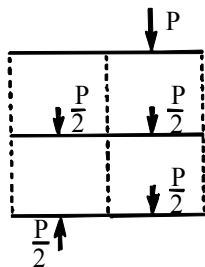
Nosači  
poligonalnih  
oblika



PRIMJER:

# METODA SILA

## SIMETRIČNE KONSTRUKCIJE



Svako opterećenje možemo prikazati kao zbroj simetričnog i antisimetričnog. Pojednostavljenje proračuna metodom sila korištenjem osi simetrije nosača-u smanjenju opsega računanja. Uvjet korištenja simetrije je geometrijska i fizikalna simetrija(materijalna).

1. način korištenja simetrije je uvođenje simetričnih i antisimetričnih nepoznanica.



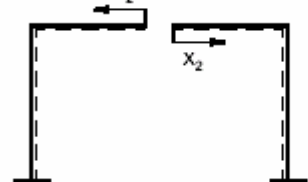
S.N.S.



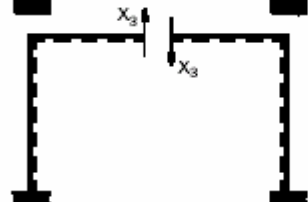
O.S.



Symmetrie



Symmetrie



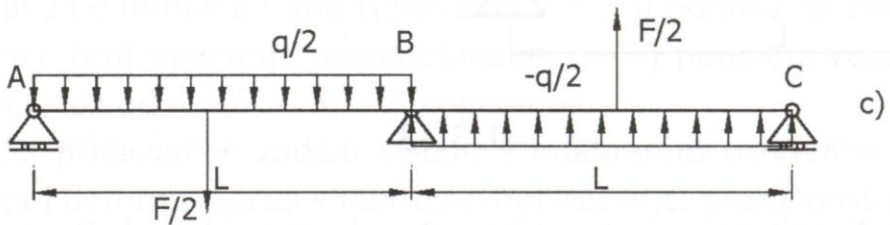
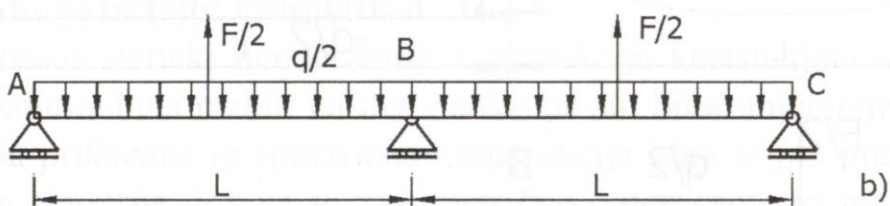
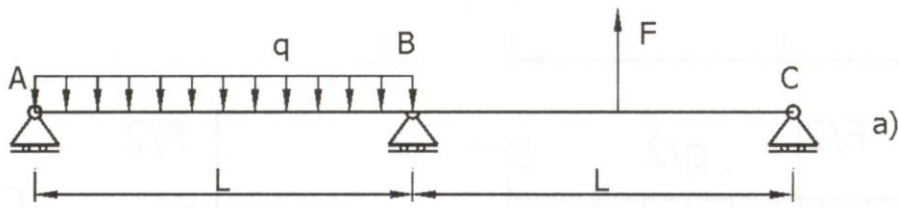
Antimetrie

# METODA SILA

## SIMETRIČNE KONSTRUKCIJE

Primjer:

Zadano opterećenje razlaže se na simetrično i antimetrično (os simetrije prolazi kroz ležaj B).

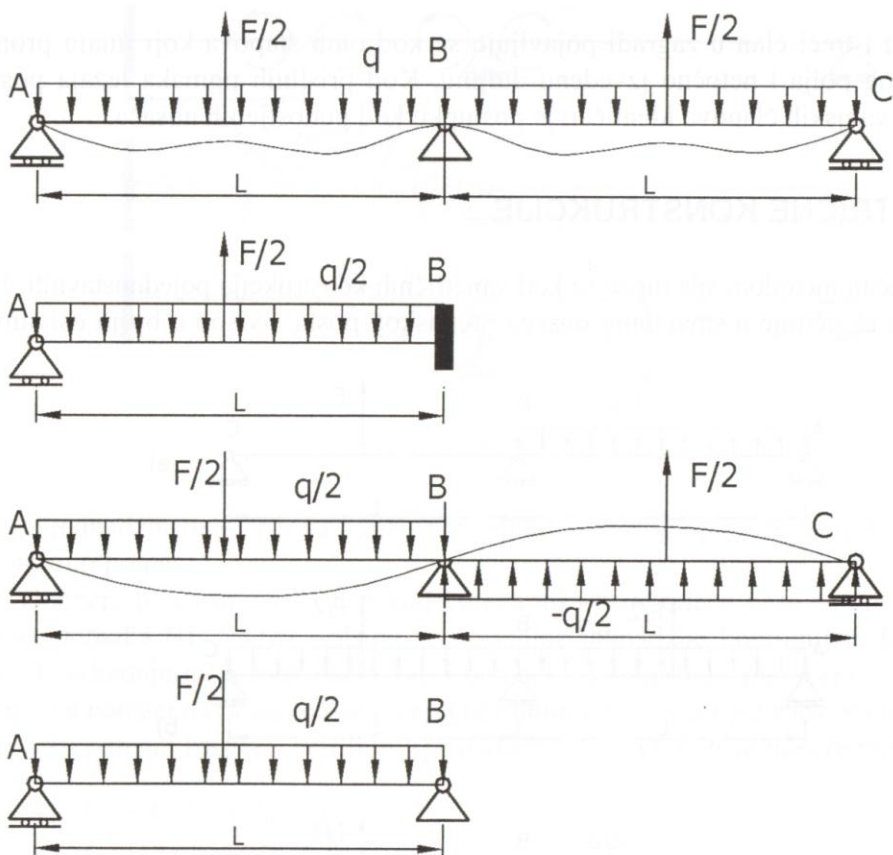


# METODA SILA

## SIMETRIČNE KONSTRUKCIJE

*Simetrično opterećenje:*

- *Usljed simetrije nosača i opterećenja, pomaci i deformacije su simetrični oko osi simetrije;*
- *Kinematski (geometrijski) rubni uvjeti*  
 $v = 0, \quad dv/dx = 0$
- *Nosač se ponaša kao da je ležaj B upet te je proračunski model jednoraspontski nosač.*

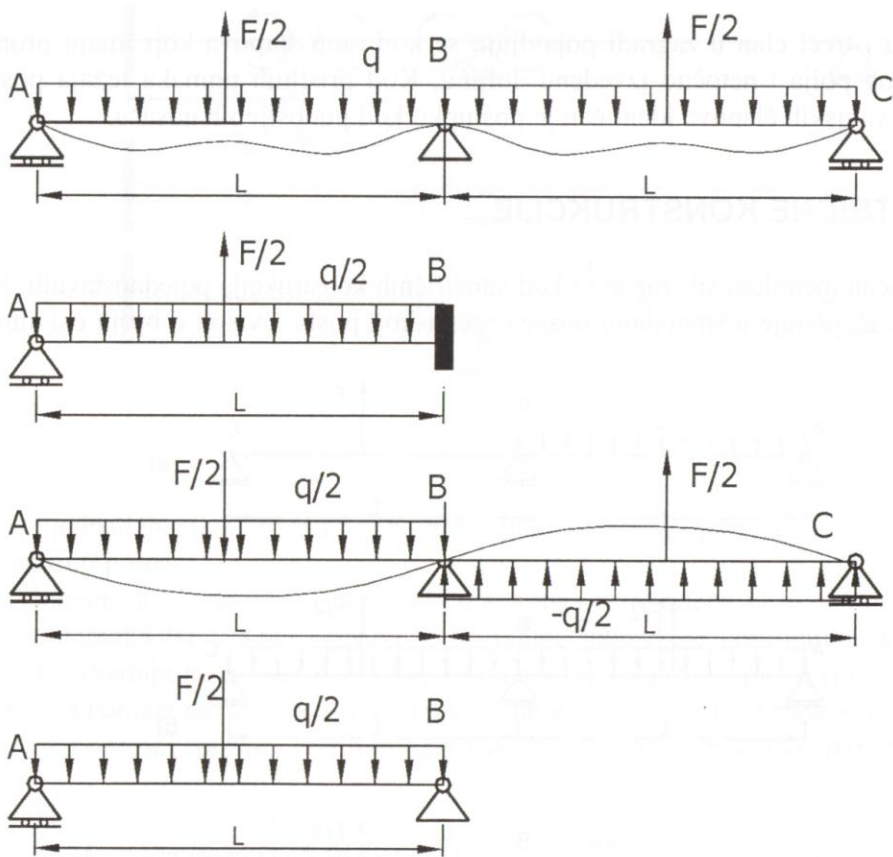


# METODA SILA

## SIMETRIČNE KONSTRUKCIJE

*Antisimetrično opterećenje:*

- Usljed simetrije nosača, pomaci i deformacije su antisimetrični oko osi simetrije;
- Kinematski (geometrijski) rubni uvjeti u osi simetrije  
 $v = 0, \quad d^2v/dx^2 = 0$
- Nosač se ponaša kao da je ležaj B zglobni ležaj te je proračunski model jednoraspontski nosač.

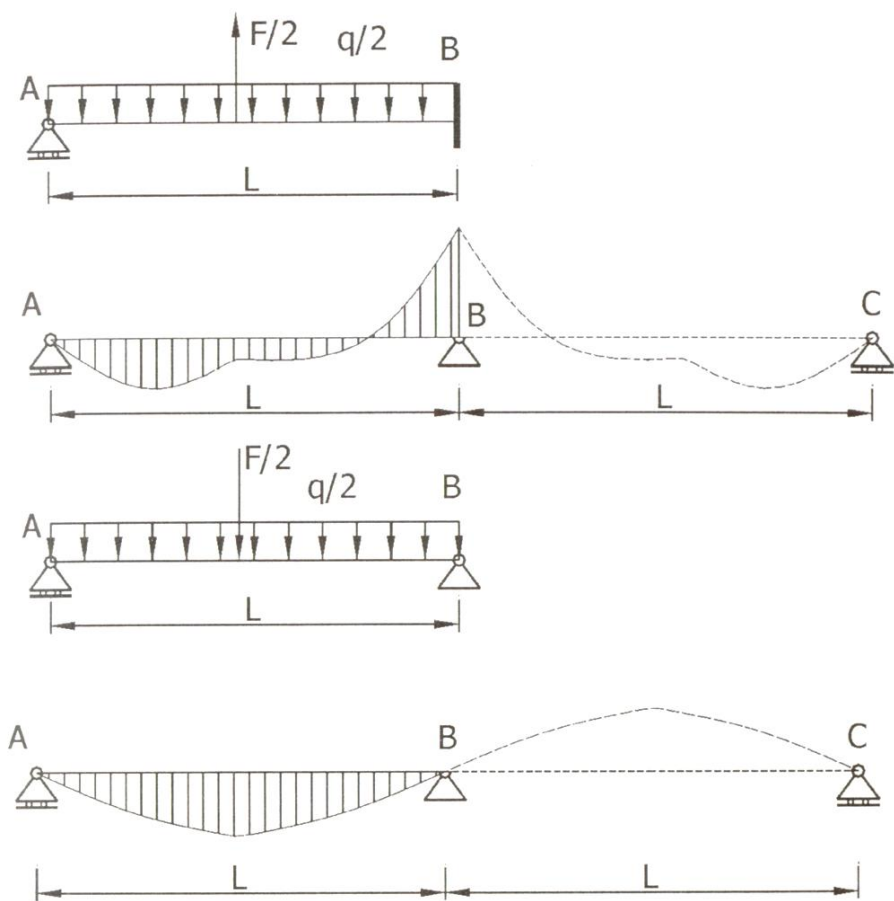


# METODA SILA

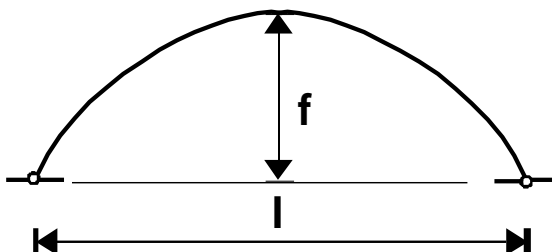
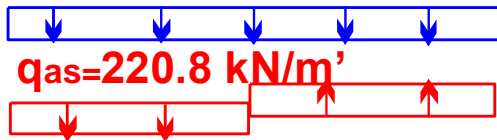
## SIMETRIČNE KONSTRUKCIJE

Nakon određivanja momenata na mproračunskom modelu A-B, momente na nosaču B-C dobivamo preslikavanjem oko osi simetrije.

Konačni momenti savijanja dobiju se superpozicijom od simetričnog i antisimetričnog stanja opterećenja.

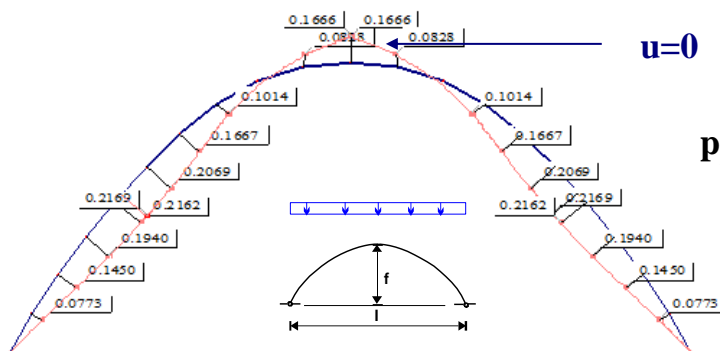


$q=220.8 \text{ kN/m}'$



Primjer dvozglobnog luka

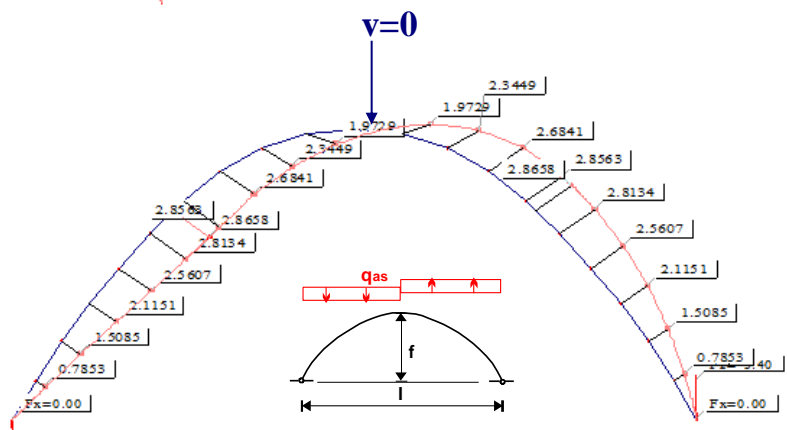
## SIMETRIJA I ANTISIMETRIJA



$$p_{max}=0.22 \text{ cm}$$

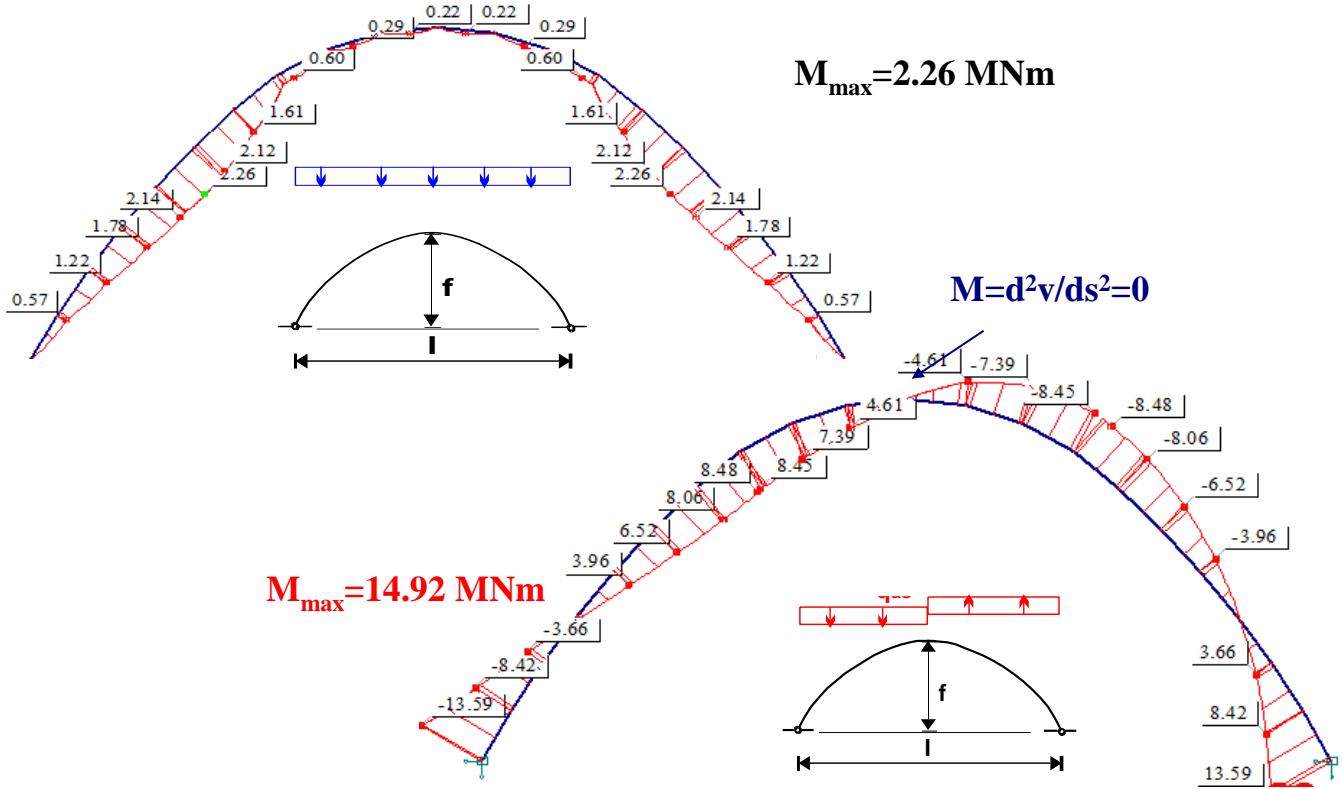
točka infleksije

$$p_{max}=2.86 \text{ cm}$$



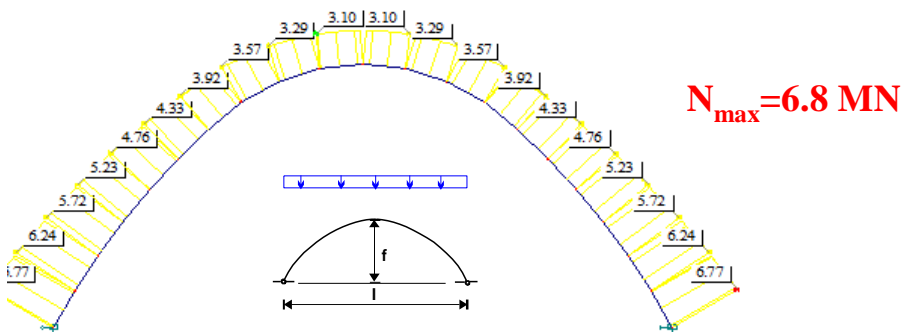
Simetrično opterećenje i simetrija nosača, pomaci i deformacije su simetrični oko osi simetrije.  
Dijagrami un sila su simetrični.  
Kinematski (geometrijski) rubni uvjeti  $u=0$ ;  $dv/ds=0$ - nagib tangente na progibnu liniju=0.

## SIMETRIJA I ANTISIMETRIJA



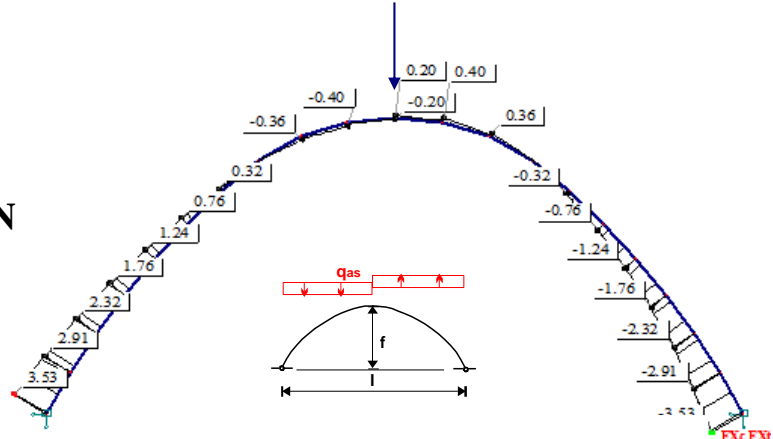
Antisimetrično opterećenje i simetrija nosača - pomaci i deformacije su antisimetrični oko osi simetrije.  
 Dijagrami un sila su antisimetrični.  
 Kinematski (geometrijski) rubni uvjeti u osi simetrije  $v=0$ ;  $d^2v/dx^2=0$ -točka infleksije.

## SIMETRIJA I ANTISIMETRIJA

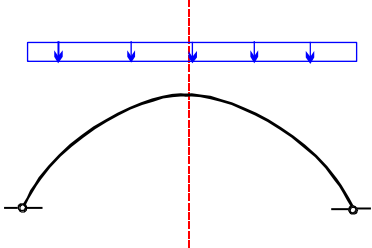


$N=0$

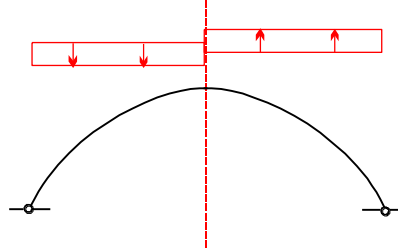
$N_{\max} = 2.94 \text{ MN}$



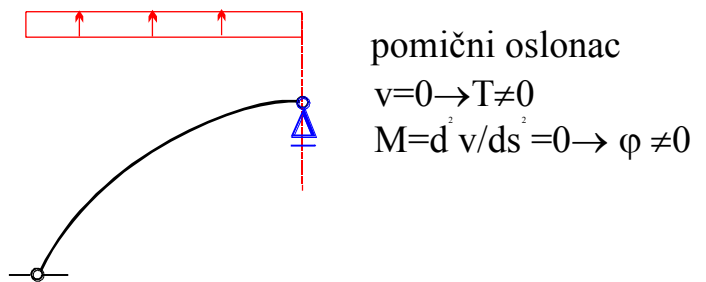
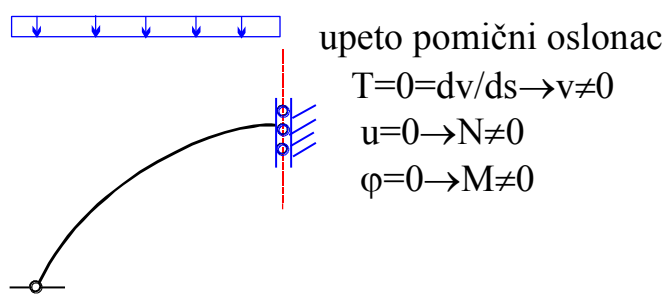
## SIMETRIJA I ANTISIMETRIJA



MODEL SIMETRIJE



MODEL ANTISIMETRIJE



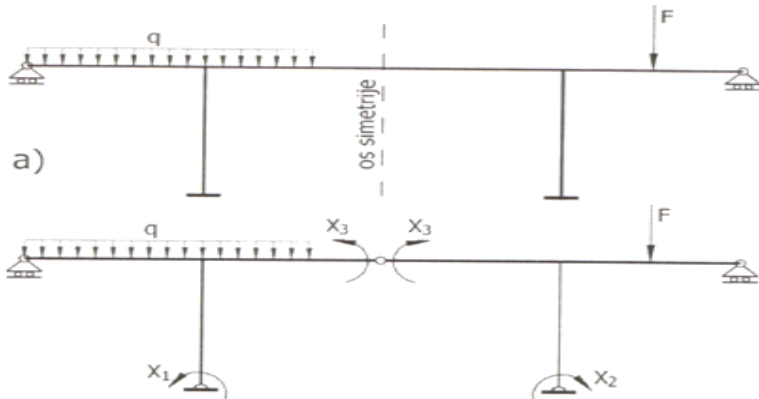
Proračunski model-1/2 nosača sa zadanim r.uvjetima.

Konačni dijagrami un.sila dobiju se superpozicijom od simetričnog i antisimetričnog stanja opterećenja.

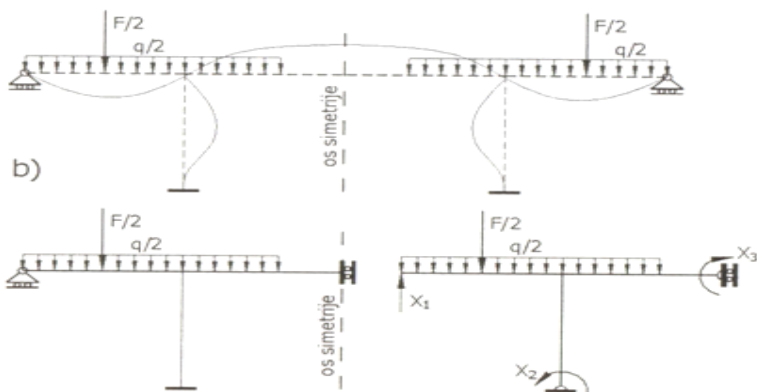
# METODA SILA

## SIMETRIČNE KONSTRUKCIJE

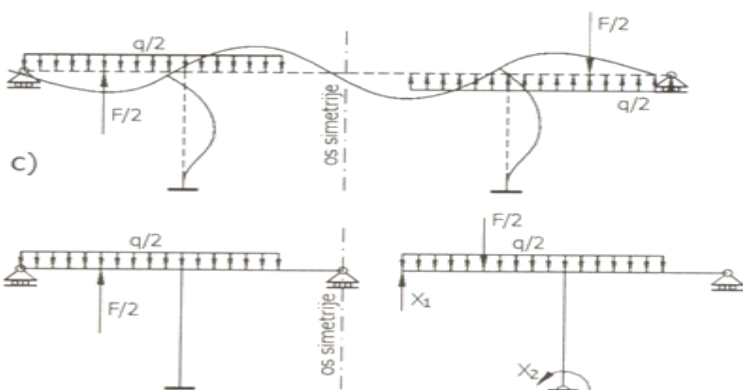
Primjer višestruko staticki neodređenog nosača



$$n = n_s + n_a$$



$$5 = 3 + 2$$



# **METODA SILA**

## **REDUKCIJSKI STAVAK**

*Za određivanje pomaka točaka staticki neodređenog nosača moguće je formalno koristiti teorem jedinične sile.*

*Odredimo pomak točke na "v" puta staticki neodređenom sustavu tako da na mjestu, pravcu i smjeru traženog pomaka djelujemo jediničnom silom.*

- *momenti od vanjskog opterećenja "n" puta staticki neodređenog nosača* 
$$M_x^{(v)} = M_x^0 + \sum_{k=1}^v X_k m_k$$
- *momenti na istom nosaču od jedinične sile na mjestu i pravcu traženog pomaka* 
$$m_x = m_x^0 + \sum_1^v Y_i m_i$$
- *Traženi pomak je:*

$$f = \int \frac{M_x^v m_x}{EI} ds$$

$$f = \int \frac{1}{EI} \left( M_x^0 + \sum_1^v X_k m_k \right) m_x^0 ds +$$

$$+ \int \frac{1}{EI} \left[ M_x^0 \cdot \sum_1^v Y_i m_i + \left( \sum_1^v X_k m_k \right) \left( \sum_1^v Y_i m_i \right) \right] ds$$

# **METODA SILA**

## **REDUKCIJSKI STAVAK**

*Nadalje je:*

$$I_2 = \sum_1^v Y_i \cdot \int \frac{1}{EI} M_x^0 m_i \cdot ds + \sum_1^v Y_i \cdot \int \frac{1}{EI} m_i \sum_1^v X_k m_k \cdot ds$$

*Dok je sukladno oznakama iz metode sila*

$$I_2 = \sum_1^v Y_i \left( f_{i0} + \sum_1^v X_k f_{ik} \right) = 0$$

*Izrazi u zagradi predstavljaju zapravo jednadžbe kontinuiteta za bilo koji osnovni sustav opterećen vanjskim opterećenjem s prekobrojnim silama  $X_i$ , te je izraz  $I_2=0$ , te preostaje*

$$f = \int \frac{1}{EI} \left( M_x^0 + \sum_1^v X_i m_i \right) \cdot m_0 \cdot ds = \int \frac{1}{EI} M_x^v m_0 \cdot ds$$

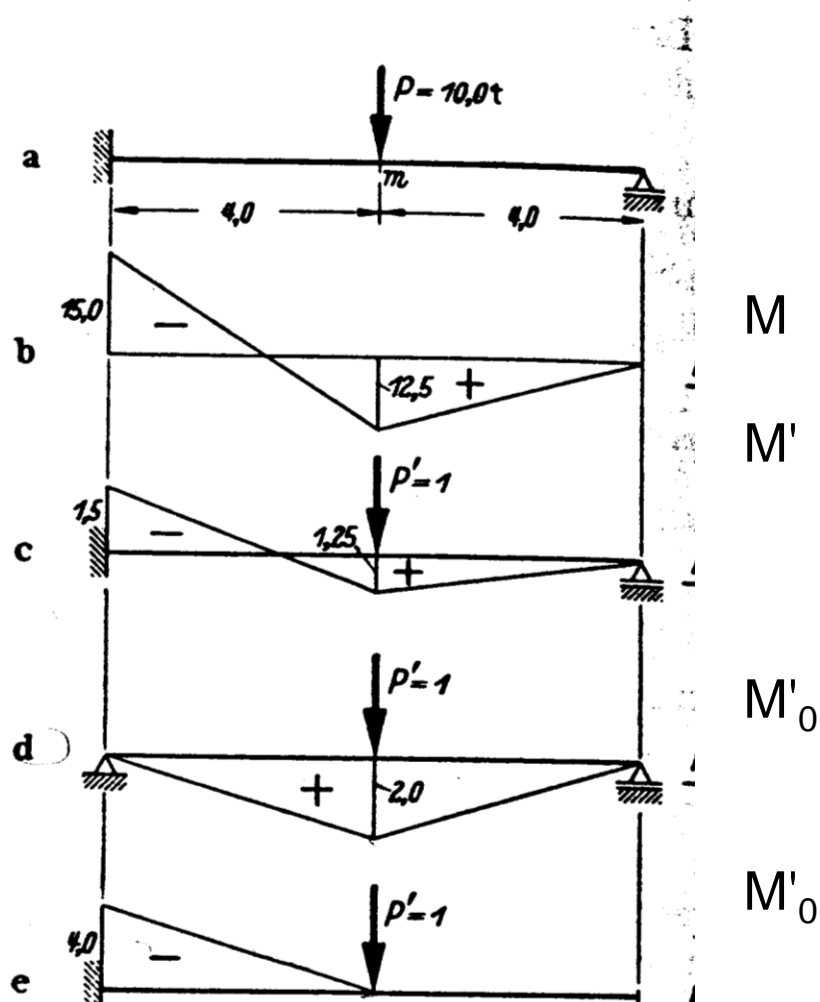
**Pomak točke jednak je integralu umnoška relativnih deformacija na staticki neodređenom sustavu i odgovarajućih unutarnjih sila od jedinične sile na proizvoljnom osnovnom sustavu.**

# **METODA SILA**

## **REDUKCIJSKI STAVAK**

Primjer:

Za jednostrano upeti nosač na slici odredi progib  
 $\delta m = v$  pod djelovanjem opterećenja  $P=10,0 \text{ t}$ .



# **METODA SILA**

## **REDUKCIJSKI STAVAK**

a) bez korištenja redukcionog stavka

Dva puta rješavamo statički neodređeni sustav.

$$\begin{aligned} EI \delta_m &= \int M' M ds \\ &= \frac{1}{6} [2(15,0 \cdot 1,5 + 12,5 \cdot 1,25) - (15,0 \cdot 1,25 + 12,5 \cdot 1,5)] 4,0 \\ &\quad + \frac{1}{3} 12,5 \cdot 1,25 \cdot 4,0, \end{aligned}$$

$$EI \delta_m = 46,7.$$

b) uz upotrebu redukcijskog stavka

Jednom rješavamo statički neodređeni sustav.

$$I \delta_m = \int M'_0 M ds = \frac{1}{6} (2 \cdot 12,5 \cdot 2,0 - 15,0 \cdot 2,0) 4,0 + \frac{1}{3} 12,5 \cdot 2,0 \cdot 4,0 = 46,$$

c) Uz drugačije odabran O.S.-konzolu pomak je:

$$EI \delta_m = \int M'_0 M ds = \frac{1}{3} 15,0 \cdot 4,0 \cdot 4,0 - \frac{1}{6} 12,5 \cdot 4,0 \cdot 4,0 = 46,7.$$

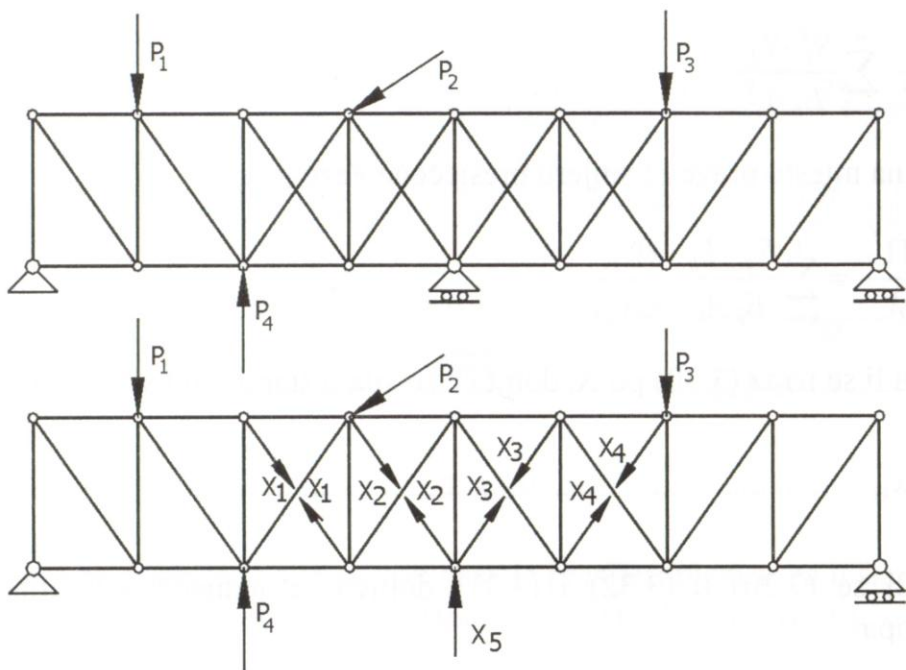
# METODA SILA

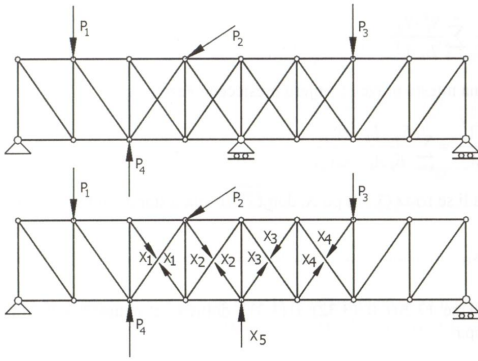
## STATIČKI NEODREĐENE REŠETKASTE KONSTRUKCIJE

Broj veza preko minimalno potrebnog u nosaču određuje se kao razlika broja kinematskih sloboda i broja kinematskih ograničenja  $\Rightarrow$  stupanj staticke neodređenosti.

Osnovni sustav dobije se presijecanjem štapova konstrukcije i ležajnih veza tako da preostali štapovi i vanjske veze tvore kinematski i staticki određeni sustav.

Dodatne jednadžbe dobiju se iz uvjeta geometrijskog kontinuiteta presječnih veza.





# METODA SILA

## STATIČKI NEODREĐENE REŠETKASTE KONSTRUKCIJE

*Sile u štapovima:*  $S_k = S_k^0 + \sum_{j=1}^m s_{kj} X_j$

$S_k$  ukupna sila u štalu ( $k$ ),  $S_k^0$  sila u štalu ( $k$ ) na osnovnom sustavu od vanjskog opterećenja,  $s_{kj}$  sila u štalu ( $k$ ) na osnovnom sustavu od sile  $X_j=1$ .

*Uvjeti konstabiliteta:* relativni pomak presječenih krajeva štapa na pravcu štapa jednak je nuli.

*Rešetkaste konstrukcije*  $\Rightarrow$  samo uzdužne sile u štapovima.

*Deformacijska energija:*  $\Pi_d^* = \frac{1}{2} \sum_{k=1}^n \int_0^L \frac{S_k^2 ds}{E_k A_k}$

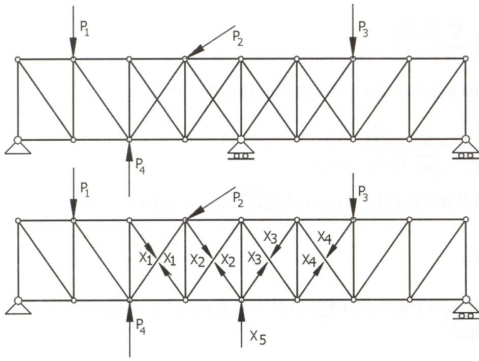
*odnosno za konstantne podintegralne veličine:*  $\Pi_d^* = \frac{1}{2} \sum_{k=1}^n \frac{S_k^2 L_k}{E_k A_k}$

*Pomak na mjestu, pravcu i smjeru poresječne veze:*

$$\Delta_i = \frac{\partial \Pi_d^*}{\partial X_i} = \sum_{k=1}^n \frac{S_k L_k}{E_k A_k} \cdot \frac{\partial S_k}{\partial X_i}$$

*Derivacijom po  $X_i$ , dobije se sila u štalu ( $k$ ) od sile  $X_i=1$ :*

$$\frac{\partial S_k}{\partial X_i} = s_{ki}$$



# METODA SILA

## STATIČKI NEODREĐENE REŠETKASTE KONSTRUKCIJE

*Jednadžba kontinuiteta i-tog presječenog štapa:*

$$\sum_{k=1}^n \sum_{j=1}^m X_j \frac{s_{kj}}{E \cdot A_k} \cdot s_{ki} + \sum_{k=1}^n \frac{S_k^0}{E \cdot A_k} \cdot s_{ki} = 0$$

*Promjenom redoslijeda sumacije i uvođenjem oznaka*

$$\sum_{k=1}^n s_{ki} \frac{s_{kj} L_k}{EA_k} = \frac{\partial^2 \Pi_d^*}{\partial X_i \partial X_j} = f_{ij}$$

$$\sum_{k=1}^n s_{ki} \frac{S_k^0 L_k}{EA_k} = f_{i0}$$

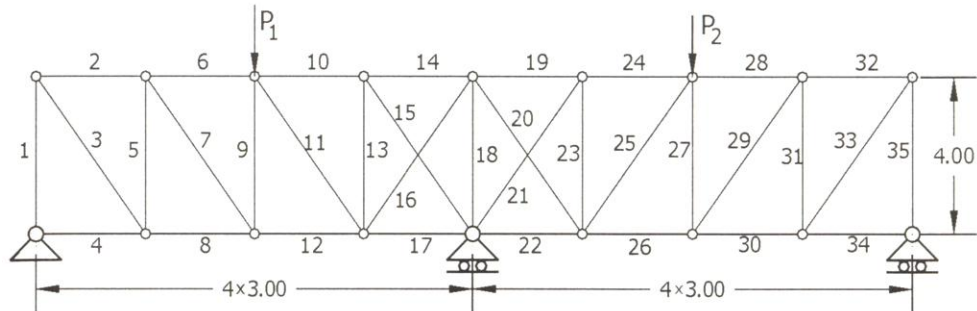
*dobije se*       $\sum_{j=1}^n X_j f_{ij} + f_{i0} = 0, \quad i = 1, 2, \dots, m$

*Rješenjem ovog sustava linearnih jednadžbi određuju se sile u prekobrojnim vezama a potom sile u štapovima sukladno početnom izrazu.*

# METODA SILA

## STATIČKI NEODREĐENE REŠETKASTE KONSTRUKCIJE

Primjer: Odredite sile u štapovima zadanog rešetkastog nosača za zadana opterećenja.



- presijecanjem veza u štapovima 16, 19 i 20  $\Rightarrow$  osnovni sustav 1
- Presijecanjem štapova 15, 21 i ležajne veze u sredini nosača  $\Rightarrow$  osnovni sustav 2.

